

名古屋大学工学部 正員 足立明平
名古屋大学大学院 学生員 ○神原耕太

1. まえがき

移動床流れの抵抗と河床形状研究小委員会の報告¹⁾において、河床形態の領域区分は、次の4種の関数形で与えられることが示された。

$$f_1(S, \zeta_*, R/d, \kappa) = 0$$

$$f_2(S, I/s, R/d, \kappa) = 0$$

$$f_3(S, \zeta_*, F_r, \kappa) = 0$$

$$f_4(S, \zeta_*, I/s, \kappa) = 0$$

これらに対応して、 $\zeta_* \sim R/d$, $I/s \sim R/d$, $\zeta_* \sim F_r$, $\zeta_* \sim I/s$ の領域区分法が提案されている。これらの区分法は、小規模河床形態を対象にしたものであって、中規模河床形態の領域を含まない。中規模河床形態と小規模河床形態は、共存するものと考えられてはいるが、水路実験の観察によると、中規模河床形態として、かなり明瞭に区分できる状態があるようと思われる。

以下に、足立・中嶋²⁾³⁾によって行なわれた水路実験の資料によって、従来の河床形態区分を検討した結果を示す。

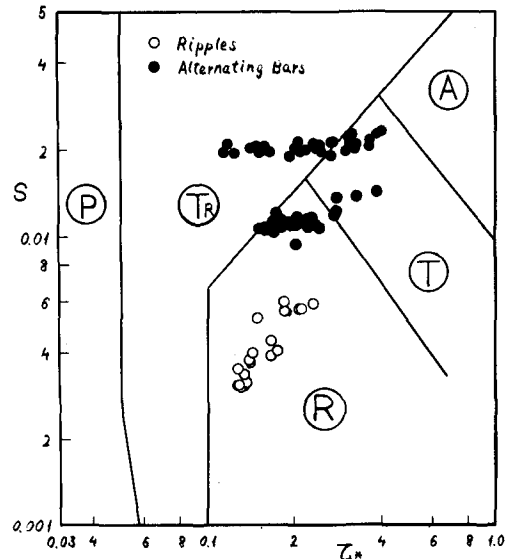
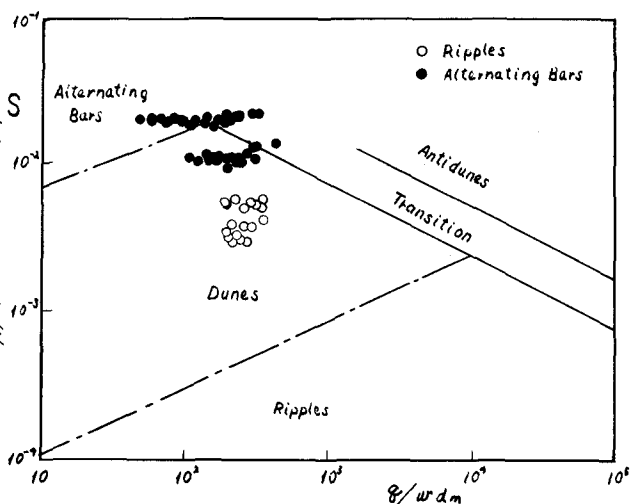
なお、実験に使用した水路は、長さ 15m,

幅 2m, $d_m = 0.93\text{mm}$ の移動床水路である。

砂面中央に幅 27.6 cm の台形断面流路を設定し、流水による側方浸食を許すものである。初期河床勾配は 1/50, 1/100, 1/500 の 3 種類とし、 $Q = 0.7 \sim 2.8 \text{ l/s/m}$ の範囲である。

2. 二次元的な河床形態区分の検討

$\zeta_* \sim R/d$, $I/s \sim R/d$, $\zeta_* \sim F_r$ の区分図に実験資料をプロットすると、砂連が発生した実験では、ほぼ Lower regime と区分された領域に入るが、砂礫堆が発生し、流路の蛇行がみられた実験では、Transition あるいは Upper regime の領域にプロットされる。杉尾博士の $\zeta_* \sim S$, $S \sim \delta/wd_m$ の区分図⁴⁾⁵⁾に実験資料を

Fig. 1 $S \sim \zeta_*$ の関係Fig. 2 $S \sim \zeta*/wd_m$ の関係

プロットした結果を Fig. 1, Fig. 2 に示す。砂礫堆が発生した実験のうち、初期勾配 1/50 のケースについては、ほぼ TR あるいは Alternating Bars の領域にプロットされるが、初期勾配 1/100 のケースについては、⑧あるいは Dunes の領域にプロットされる。また、Engelund は、 V/u' ~ F_r の領域区分を与えており、実験資

料をプロットした結果を、Fig. 3に示す。この区分図では、砂礫堆の発生した実験の資料は、ほぼ Anti-dunesの領域にプロットされている。

3. 三次元的な河床形態区分の検討

鯨川博士¹⁾は、ひずみ模型の概念を導入し、 $U_e^2/U_{sc}^2 \sim \sqrt{B} I / U_{sc}$ による領域区分法を提案している。実験資料をプロットした結果をFig. 4に示す。通水の初期で、砂礫堆が充分に発達していない箇点は〇印で示してある。これによると、砂礫堆の発生した実験の描点は、ほぼ Alternating Barsの領域にプロットされていることが分る。

足立²⁾は、以前に流水の微少変動理論から、 $F_r \sim (f'/2\pi) B/R$ によって蛇行発生の限界を与えることを試みたが、Engelundの $F_r \sim V/U_f'$ の区分法において、 V/U_f' のかわりに、 $f' = 2S/F_r^2$ を考慮すれば、 $(f'/2\pi) B/R$ は、 F_r を一定にするような、ひずみされた摩擦係数になっている。 $F_r \sim (f'/2\pi) B/R$ 平面上に実験資料をプロットした結果をFig. 5に示す。

このように中規模河床形態の発生領域の区分に対して、 B/R を含むパラメーターは有用と思われる。また、小委員会の報告³⁾によると、 $\lambda/B = 7 \sim 15$ である。 λ （蛇行波長）と B が、ほぼ線形の関係で表現されるという事実は、中規模河床形態の発生限界を考慮するとさに、ひずみ模型で、 B も考慮に入れた相似則による考察の有効性を示唆するよう思われる。

参考文献

- 1) 移動床流れの抵抗と河床形態研究小委員会、土木学会論文集、210号、1973、PP. 65~91。
- 2) 足立・中藤・天神、第23回年次学術講演会、1968、PP. 373~374
- 3) 足立・中藤、第25回年次学術講演会、1970、PP. 281~282
- 4) 杉尾、土木学会論文集、71号、1960、PP. 7~13
- 5) 杉尾、土木学会論文集、171号、1969、PP. 25~33
- 6) 鯨川、第26回年次学術講演会、1971、PP. 189~190
- 7) F. Engelund, Proc. ASCE, HY2, 1966, PP. 315~326
- 8) 足立、水理研究会前刷、1957、PP. 9~10

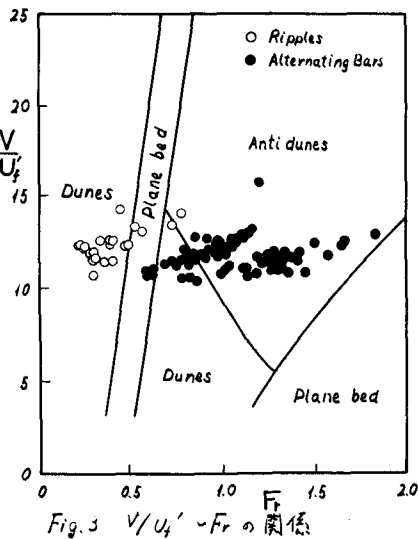


Fig. 3 $V/U_f' - Fr$ の関係

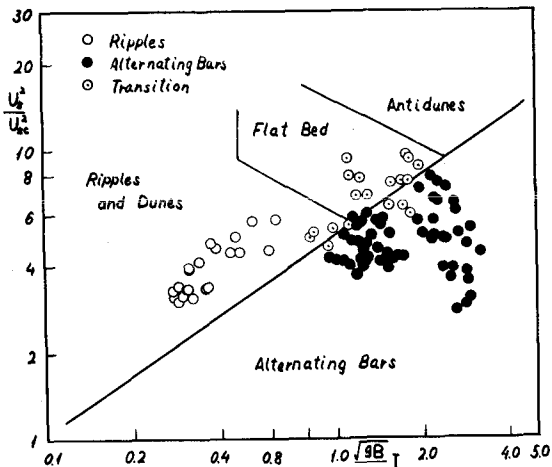


Fig. 4 $U_e^2/U_{sc}^2 - \sqrt{B/R}$ の関係

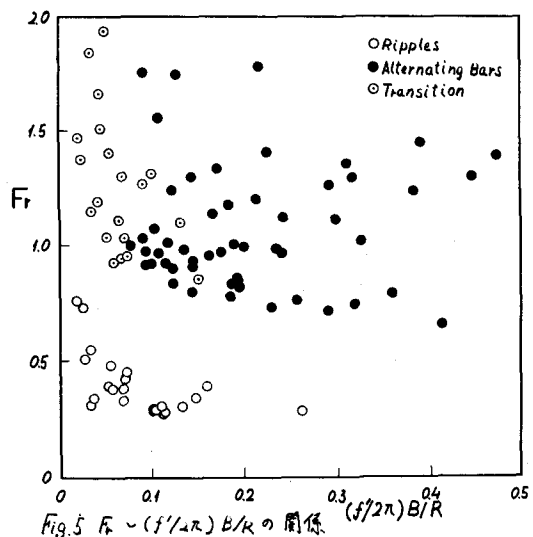


Fig. 5 $Fr - (f'/2\pi) B/R$ の関係